



F401. Carniolas y dolomías carniolares del Retiense-Hettangiense. San Leonardo.



F402. Calizas micríticas del Sinemurriense - Pliens-
baquiense. Barranco del Río Chico (Talveila)



F403. Tránsito Pliensbaquiense - Tocarciense. Barranco del Río Chico (Talveila).



F404. Bajociense Inferior. Barranco del Río Chico
(Talveila).



F.405. Calizas arenosas del Dogger. Talveila.



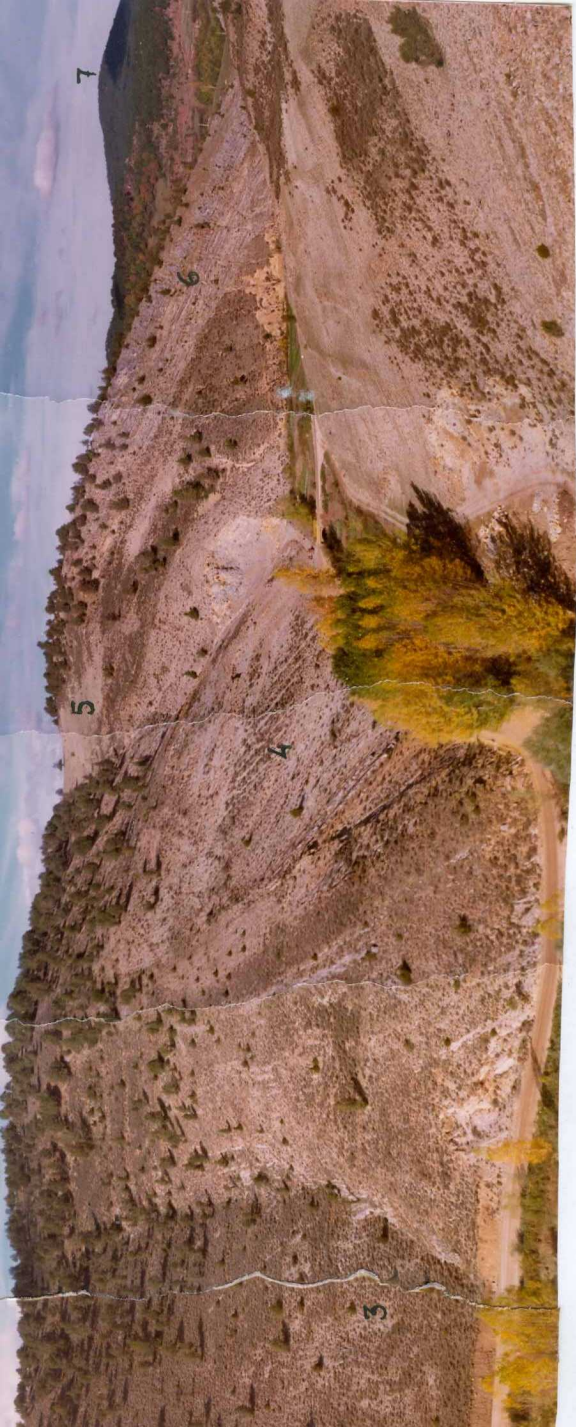
F406. Corridas de lignitos en el Wealdense. Casarejós.



F'407. Detalle de los lignitos, Casarejos.



F408. Formación Ultrillas. Núcleo anticlinal de Aylagas.



F409. Continuación de la anterior. 3) Retiense-Aktangense. 4) Sinemuriense-Plönsboquense. 5) Torrciense
6) Dogger. 7) Wealdense.

F409. Panorámica del Barranco del Río Chico. Talveida. 1) Cortaceo Superior, 2) Uthrillas





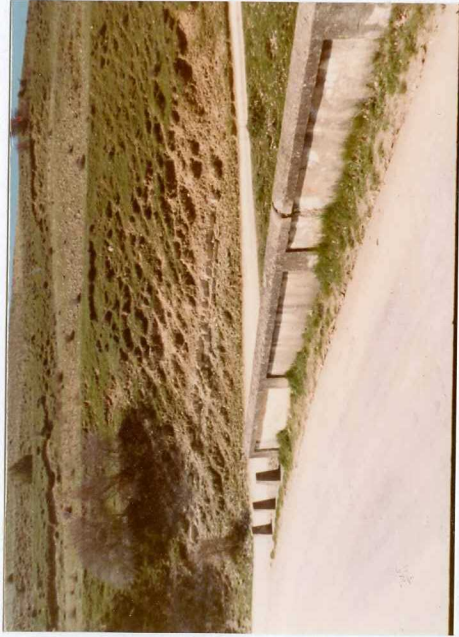
F410. Serie Sequanense-Kimmeridgiense. Al fondo los pinares del Wealdense



F411. Turonense. NE de Santa María de las Hoyas. Se aprecian los niveles de calizas nodulosas, a la izquierda, que separan el Turonense Inferior del Superior.



F412. Corté de San Cristobal, al Sur de San Leonardo de Yagüe. ① Wealdense, ② Jurásico, ③ Albense
④ Cenomanense, ⑤ Turonense, ⑥ Santoniense, ⑦ Campaniense-Maastrichtiense.



1413. Cenomanense, Muriel de la Fuente



F414. Coniaciense. Murriel de la Fuente



F415. Capas volcadas del Santoniense-Campariense.
Proximidades de Cubilla.



Fig. 16. Garumense de Cubilla.



F417. Detalle del Garumnense. Calizas
vinosas y pisolitos.



Fig. 18. Panoràmica del Neocretàceo del Sinclinorio de Cabrejas-Muriel Viejo-Muriel de la Fte



F419. Pliegue en rodilla del Neocretáceo al Sur de Murriel de la Fuente.



F420. Mioceno al Sur de Fuentecantales. Por encima
raña del Plioceno



F'421. Detalle de la anterior.